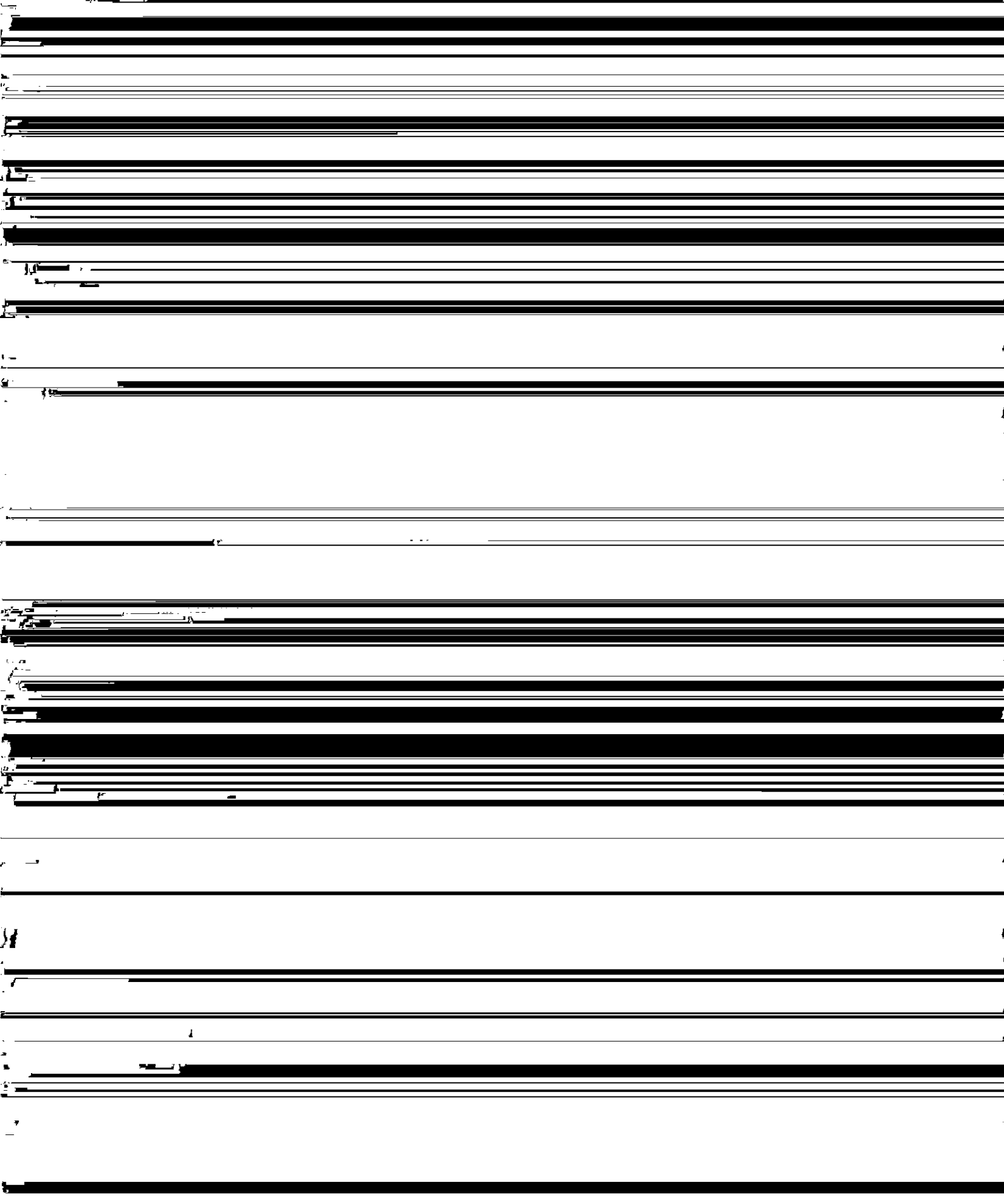
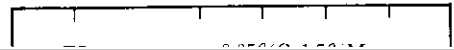


鋼板は、今まで有害元素として嫌われてきたPを固溶強化および延



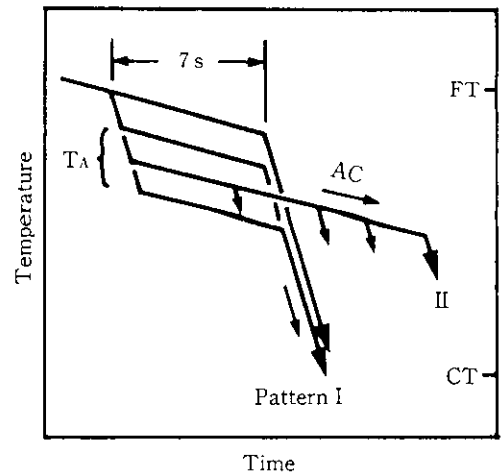
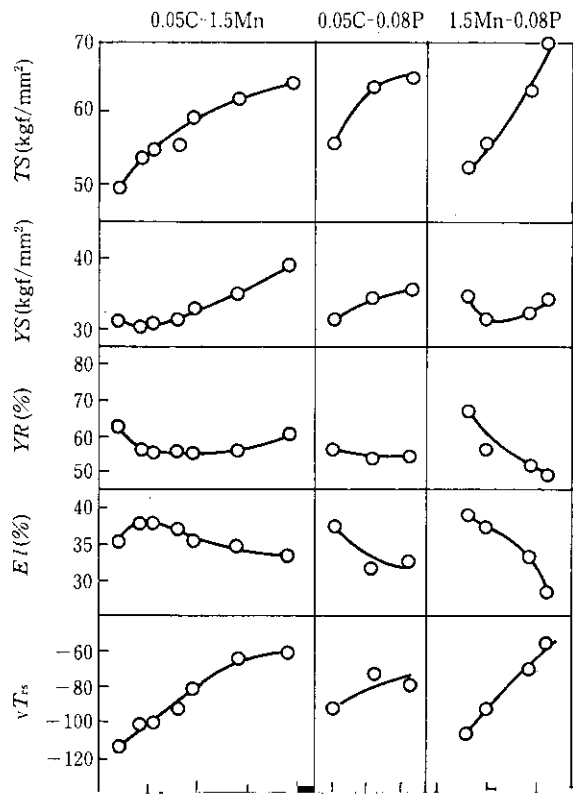
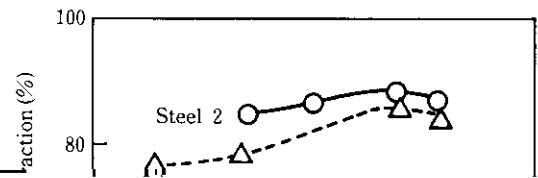


Fig. 3 Schematic illustration of cooling curves of strips after finish-rolling on run-out table



を調べたり。なおホイールリムの冷間成形は板端部が伸びフランジ変形を受ける加工なので、その評価方法として Fig. 7 に示すサイドベンド試験⁹⁾を採用した。

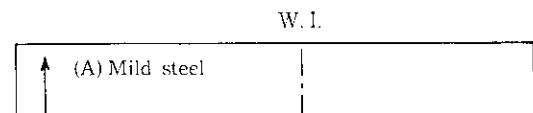
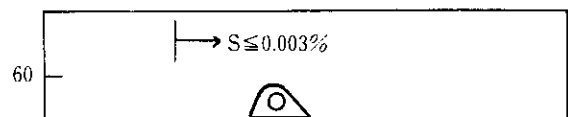


Table 4 Mechanical properties of high strength steel sheets for wheel rim use

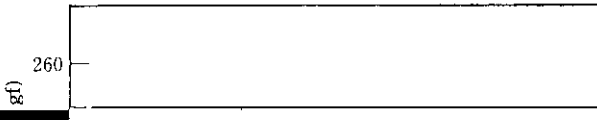
	Thickness (mm)	YS (kgf/mm ²)	TS (kgf/mm ²)	YR (%)	El (%)	SEl (%)	Charpy test, vT_{rs} (°C)	
							As received	Strain aged
R1	2.6	51.5	60.4	85	27	32	-170	-140

図 11 添加平高張力鋼板の中用化結晶



YS TS YR EI YEl Bend

電流は、約 14.5 kA と 3 種とも同レベルで、軟鋼板より約 2 kA 低



6 結 言

この論文は、トヨタ自動車株式会社から提供された従来の合金鋼板